

УДК 538.115

© 1990

## ВОЛНА СПИНОВОЙ ПЛОТНОСТИ В УПОРЯДОЧЕННЫХ БИНАРНЫХ СПЛАВАХ МАРГАНЦА С МЕТАЛЛАМИ VII И VIII ГРУПП

Е. Е. Слядников, В. В. Тугушев

Исследуется класс веществ  $Mn_{1-x}Me_x$  ( $Me=Ni, Pd, Pt, Rh, Ir$ ) исходя из модели волны спиновой плотности (ВСП) с особенностями, характерными для систем данного типа. Построены качественные зависимости температур Нееля и Кюри от содержания марганца в сплаве, вычислена магнитная восприимчивость системы.

Известно, что в ряде сплавов и соединений переходных и редкоземельных металлов антиферромагнитное (АФМ) упорядочение удачно описывается в рамках представлений о волне спиновой плотности (ВСП). Тенденция к антиферромагнетизму в этих системах связывается со специфической топологией поверхности Ферми — «нестингом» электронных и дырочных ее участков в некоторой области квазимульсов. Модель ВСП позволила объяснить многие особенности магнитных свойств хрома и его разбавленных сплавов (см., например, обзор [1]), квазидвимерных проводников — солей Бечгаарда [2], геликоидальных магнетиков — сплавов иттрия с тяжелыми редкоземельными металлами [3], упорядоченных сплавов типа  $FeRh, Pt_3Fe$  [3]. Обсуждается применимость этой модели к металлооксидам и возможная связь ВСП с феноменом высокотемпературной сверхпроводимости [4].

В настоящей работе исследуется класс веществ — бинарных сплавов марганца — с формулой состава  $Mn_{1-x}Me_x$  ( $Me=Ni, Pd, Pt, Rh, Ir$ ) исходя из модели ВСП с особенностями, характерными для систем данного типа. Во-первых, предполагается, для анализа магнитного упорядочения в рамках зонной теории существенны две группы электронных состояний: 1) состояния конгруэнтных (особых) участков поверхности Ферми, доля которых  $N(0)$  в полной плотности состояний  $N_2$  невелика, но которые ответственны за формирование ВСП; 2) электронные состояния «резервуара» с большой плотностью и сильно развитыми локальными спиновыми флуктуациями, которые в нашем случае будем описывать как подсистему локальных спинов, связанных прямым эффективным ферромагнитным (ФМ) взаимодействием [5]. Во-вторых, необходим учет косвенного АФМ взаимодействия спиновых флуктуаций через состояния магнитных участков, включающего как обычный РККИ-обмен через свободные носители, так и обмен через электрон-дырочные пары, формирующие ВСП (триплетный конденсат) [6].

Экспериментально установлено, что ниже температуры Нееля сплавы  $Mn_{1-x}Me_x$ , близкие по составу к эквиаtomному ( $x \ll 1$ ), имеют простую удвоенную АФМ структуру, состоящую из слоев с противоположной ориентацией спиновой плотности с максимумами на узлах Mn и нулями на узлах Me [7-9]. Нейтронографические измерения, проведенные в АФМ фазе, показали наличие сильно локализованной спиновой плотности ( $\sim 4 \mu_B$ ) на узлах марганца и очень малую величину спиновой плотности ( $\sim 0.1 \mu_B$ ) на узлах Me [8-10]. Температурная зависимость магнитной вос-

приемчивости в парамагнитной фазе подчиняется закону Кюри—Вейса для соединений  $MnNi$ ,  $MnRh$  [11, 12] и слабо зависит от температуры в сплавах  $MnPd$ ,  $MnPt$  [11]. В АФМ фазе в области температур от  $T_N$  (несколько сотен градусов Кельвина) до температуры жидкого азота восприимчивость сплавов  $Mn$  с  $Ni$ ,  $Pd$ ,  $Pt$ ,  $Rh$  становится практически независимой от температуры [11, 12], а в сплаве  $MnIr$  при низких температурах наблюдается слабый ферромагнетизм [13]. Расчеты зонной структуры  $MnNi$  в парамагнитной фазе показывают, что плотность электронных состояний имеет характерную двухпиковую структуру [14]. Уровень Ферми попадает в область высокоэнергетического пика, который формируется в основном состояниями  $Mn$ , тогда как низкоэнергетический — состояниями  $Ni$ . Поверхность Ферми имеет почти плоские участки, параллельные плоскости ГХМ. Поскольку  $Pd$  и  $Pt$  изоэлектронны  $Ni$ , а  $Rh$ ,  $Ir$  — ближайшие соседи  $Pd$  и  $Pt$  в периодической системе, то можно надеяться, что зонная структура сплавов марганца с этими металлами будет иметь много общих черт с рассчитанной для  $MnNi$ .

### 1. Модельный гамильтониан и основные уравнения

Гамильтониан рассматриваемой системы имеет вид

$$H = H_0 + H'_1 + H''_1 + H_2, \quad (1)$$

где

$$H_0 = \sum_{\mathbf{k}, \alpha} \mathcal{E}(\mathbf{k}) a_{\mathbf{k}\alpha}^+ a_{\mathbf{k}\alpha} + g \sum_{\substack{\mathbf{k}, \mathbf{k}', \mathbf{q} \\ \alpha, \beta}} a_{\mathbf{k}\alpha}^+ a_{\mathbf{k}'\beta}^+ a_{\mathbf{k}'-\mathbf{q}\beta} a_{\mathbf{k}+\mathbf{q}\alpha} \quad (2)$$

представляет собой гамильтониан электронов плоских участков;  $g$  — эффективный точечный потенциал взаимодействия;  $\alpha, \beta$  — спиновые индексы. Для зоны, формирующей плоские участки поверхности Ферми, можно приближенно записать соотношение  $\mathcal{E}(\mathbf{k}) = \xi(k_z) + \mu(\mathbf{k}_\perp)$ ,  $\mathcal{E}(\mathbf{k} + \mathbf{q}_1) = \mathcal{E}(\mathbf{k} + \mathbf{q}_2) = -\xi(k_z) + \mu(\mathbf{k}_\perp)$ , где  $\xi(k_z) = v_F k_z$ , ось  $z$  выбрана вдоль направления  $XR$ ,  $\mu(\mathbf{k}_\perp)$  дает степень гофрированности в поперечном направлении. Величины  $\mathbf{q}_1$  и  $\mathbf{q}_2$  представляют собой векторы геометрического наложения плоских участков и равны соответственно  $(110)\pi/a$  и  $(1-10)\pi/a$ . Взаимодействие электронов плоских участков с локальными спинами и примесями описывается гамильтонианами  $H'_1$  и  $H''_1$  соответственно

$$H'_1 = - \sum_{\substack{\mathbf{k}, \mathbf{k}' \\ \alpha, \beta}} \sum_m J(\mathbf{k}, \mathbf{k}') e^{i(\mathbf{k}-\mathbf{k}') \cdot \mathbf{R}_m} (S_m \cdot \sigma_{\alpha\beta}) a_{\mathbf{k}\alpha}^+ a_{\mathbf{k}'\beta}, \quad (3a)$$

$$H''_1 = - \sum_{\substack{\mathbf{k}, \mathbf{k}' \\ \alpha, \beta}} \left\{ \sum'_m [I(\mathbf{k}, \mathbf{k}') (S_m \cdot \sigma_{\alpha\beta}) - v(\mathbf{k}, \mathbf{k}') \delta_{\alpha\beta}] e^{i(\mathbf{k}-\mathbf{k}') \cdot \mathbf{R}_m} + \sum_m V(\mathbf{k}, \mathbf{k}') \delta_{\alpha\beta} e^{i(\mathbf{k}-\mathbf{k}') \cdot \mathbf{R}_m} \right\} a_{\mathbf{k}\alpha}^+ a_{\mathbf{k}'\beta} \quad (3b)$$

где  $\sum_m$  выполняется по узлам, занятым атомами  $Mn$ , а  $\sum'_m$  — по узлам подрешетки  $Me$ ;  $S_m$  — локальный спин на узле  $\mathbf{R}_m$ ;  $\mathbf{R}_m$  — радиус-вектор кристаллической решетки;  $V, v, J, I$  — матричные элементы прямого и обменного рассеяния электронов плоских участков на подрешетках  $Mn$  и  $Me$ . Гамильтониан взаимодействия спинов между собой имеет вид

$$H_2 = - \sum_{m, m'} J(\mathbf{R}_m - \mathbf{R}_{m'}) (S_m \cdot S_{m'}). \quad (4)$$

Взаимодействие между электронами плоских участков и взаимодействие спинов будем описывать в приближении среднего поля. В рамках этого приближения задача разбивается на два этапа. С одной стороны, мы должны

написать уравнение самосогласования для амплитуды ВСП, в которое входят локальные моменты, а с другой стороны, сама величина локального момента должна вычисляться с учетом подмагничивающего поля ВСП.

Синусоидальную АФМ структуру ВСП удобно описывать с помощью двух параметров порядка

$$\Delta_{\mathbf{q}_1, \mathbf{z}} = g^T \sum_{\omega_n} \sum_{\mathbf{k}} \text{Sp} \hat{\varepsilon}_z \hat{G}_{\mathbf{k} \mathbf{k}-\mathbf{q}_1, \mathbf{z}}(\omega_n). \quad (5)$$

Матричные температурные функции Грина, соответствующие выделенному направлению  $\mathbf{q}_1$ , удовлетворяют уравнениям

$$\begin{aligned} \hat{G}_{\mathbf{k}\mathbf{k}} &= \hat{G}_{\mathbf{k}\mathbf{k}} - \hat{G}_{\mathbf{k}\mathbf{k}} \tilde{\Delta}_{\mathbf{q}_1} \hat{\varepsilon}_z \hat{G}_{\mathbf{k}+\mathbf{q}_1, \mathbf{k}}, \\ \hat{G}_{\mathbf{k}+\mathbf{q}_1, \mathbf{k}} &= -\hat{G}_{\mathbf{k}+\mathbf{q}_1, \mathbf{k}+\mathbf{q}_1} \tilde{\Delta}_{-\mathbf{q}_1} \hat{\varepsilon}_z \hat{G}_{\mathbf{k}\mathbf{k}}, \\ \tilde{\Delta}_{\mathbf{q}_1} \hat{\varepsilon}_z &= \Delta_{\mathbf{q}_1} \hat{\varepsilon}_z + J [S(h^+) - S(h^-)] \hat{\varepsilon}_z + \\ &+ 2J^2 \mathcal{L}(h) \sum_{\mathbf{k}} \hat{G}_{\mathbf{k}\mathbf{k}+\mathbf{q}_1} + \end{aligned} \quad (6)$$

$$+ \begin{cases} xI [S(h_1^+) - S(h_1^-)] \hat{\varepsilon}_z + x[v^2 + I^2 \mathcal{L}(h_1)] \sum_{\mathbf{k}} \hat{G}_{\mathbf{k} \mathbf{k}+\mathbf{q}_1}, & x > 0, \\ -|x| J [S(h^+) - S(h^-)] \hat{\varepsilon}_z + 2|x| [V^2 - J^2 \mathcal{L}(h)] \sum_{\mathbf{k}} \hat{G}_{\mathbf{k} \mathbf{k}+\mathbf{q}_1}, & x < 0, \end{cases}$$

$$S(h) = {}^{1/2} S B_s(h/T), \quad \mathcal{L}(h) = S(S+1) [\alpha_s(h^+/T) + \alpha_s(h^-/T) - 1],$$

$$\alpha_s(h/T) = 1 - [S(S+1)]^{-1/2} B_s(h/T) \text{cth}(h/2T), \quad x = 2c - 1.$$

Здесь  $B_s(h)$  — функция Бриллюэна,  $c$  — содержание марганца в сплаве.  $V, J(v, I)$  — потенциалы прямого и обменного внутризонного рассеяния электронов плоских участков на узлах подрешетки Mn (Me). Потенциалы межзонного рассеяния равны потенциалам внутризонного рассеяния на подрешетке Mn и много меньше потенциалов внутризонного рассеяния на подрешетке Me. Уравнения на функции Грина, соответствующие направлению  $\mathbf{q}_2$ , получаются из (6) заменой  $\mathbf{q}_1 \rightarrow \mathbf{q}_2$ .

Уравнения для средней намагниченности подрешетки локальных спинов и средней намагниченности имеют вид

$$L = S(h^+) - S(h^-) + \begin{cases} x [S(h_1^+) - S(h_1^-)], & x > 0, \\ -|x| [S(h^+) - S(h^-)], & x < 0, \end{cases} \quad (7)$$

$$M = S(h^+) + S(h^-) + \begin{cases} x [S(h_1^+) + S(h_1^-)], & x > 0, \\ -|x| [S(h^+) + S(h^-)], & x < 0, \end{cases} \quad (8)$$

Усредняя гамильтонианы (3) — (4) по электронным переменным, определим эффективные поля

$$\begin{aligned} h^\pm &= \pm \frac{JS}{g} (\Delta_{\mathbf{q}_1} + \Delta_{\mathbf{q}_2}) + FS \left( M \mp \frac{1}{3} L \right), \\ \tilde{h}_1^\pm &= \pm \frac{IS}{g} (\Delta_{\mathbf{q}_1} - \Delta_{\mathbf{q}_2}) + fSM, \end{aligned} \quad (9)$$

где  $F, f$  — потенциалы обменного взаимодействия локального спина Mn соответственно на подрешетке Mn и Me со средним полем локальных спинов. «Нулевые» функции Грина имеют вид

$$\begin{aligned} \hat{G}_{\mathbf{k}\mathbf{k}} &= [i\hat{\omega}_n - \xi], \quad \hat{G}_{\mathbf{k}+\mathbf{q}_1, \mathbf{k}+\mathbf{q}_1} = [i\hat{\omega}_n + \xi], \\ \hat{\omega}_n &= \omega_n - i(n + J\hat{\varepsilon}_z [S(h^+) - S(h^-)] + \\ &+ 2J^2 S(S+1) \sum_{\mathbf{k}} \hat{G}_{\mathbf{k}\mathbf{k}} + \end{aligned} \quad (10)$$

$$+ \begin{cases} x \left[ (v^2 + I^2 S(S+1) \left( \sum_{\mathbf{k}} \hat{G}_{\mathbf{k}\mathbf{k}} - iI\hat{\varepsilon}_z \right) S(h_1^+) + S(h_1^-) \right)], & x > 0, \\ |x| \left[ 2(V^2 + J^2 S(S+1)) \sum_{\mathbf{k}} \hat{G}_{\mathbf{k}\mathbf{k}} + iJ\hat{\varepsilon}_z (S(h^+) + S(h^-)) \right)], & x < 0, \end{cases}$$

$$\omega_n = \pi T (2n + 1), \quad n = 0, \pm 1, \pm 2, \dots$$

Рассмотрим систему при  $x \ll 0$ . Предполагая  $T_k \ll T_N$  и ограничиваясь в (5)–(10) членами первого порядка по  $\Delta_{q_1}$  и  $\Delta_{q_2}$ , получим уравнение на температуру Нееля

$$\ln \frac{T_N}{\hat{T}_N} = \operatorname{Re} \left[ \Psi \left( \frac{1}{2} \right) - \Psi \left( \frac{1}{2} + \frac{\nu - i\mu}{2\pi T_N} \right) \right] + \frac{1}{gN(0)} \frac{\delta}{1 + \delta}, \quad (11)$$

$$\nu = 4\pi N(0) \left[ |x| V^2 + \frac{1}{3} (1 - |x|) J^2 S(S+1) \right],$$

$$\delta = \frac{1}{3} (1 - |x|) \frac{J^2}{g} \frac{S(S+1)}{T_N + T_A}, \quad T_A = \hat{T}_A - \frac{1}{9} |x| S(S+1) F,$$

$$\hat{T}_A = \frac{1}{9} S(S+1) F, \quad \hat{T}_N = 2W \frac{\pi}{\gamma} e^{-1/gN(0)},$$

где  $W$  — характерная частота обрезания,  $\gamma$  — постоянная Эйлера.

Из уравнений (5)–(11) видно, что при температуре  $T_N$  возникает распределение спиновой плотности ( $\Delta_{q_1} = \Delta_{q_2}$ ) с пучностями на узлах подрешетки Mn и нулями на узлах подрешетки Me. Локальные спины Mn ориентируются в поле ВСП так, что их проекция на каждом узле соответствует амплитуде появившейся ВСП. ФМ взаимодействие между локальными спинами Mn уменьшает температуру Нееля. Ограничиваясь в (8) членами первого порядка по  $M$ , получим уравнение на температуру Кюри

$$1 = (1 - |x|) \frac{FS^2}{T_k} B'_s \left( \frac{JS}{gT_k} [\Delta_{q_1} + \Delta_{q_2}] - \frac{1}{3} \frac{FSL}{T_k} \right), \quad (12)$$

где  $B'_s(h)$  — производная от функции Бриллюэна. Предполагая  $S [J(\Delta_{q_1} + \Delta_{q_2})/g - FL/3]/T_k \gg 1$ , из (12) получим уравнение

$$1 = \frac{(1 - |x|)}{T_k} FS^2 A(S) \exp \left\{ -\frac{1}{T_k} \left[ 2 \frac{J}{g} \Delta_0 - \frac{1}{3} (1 - |x|) FS \right] \right\}. \quad (13)$$

Здесь  $A(S)$  — числовой множитель,  $\Delta_0$  — решение уравнения (5) при  $T=0$ . Из (13) видно, что решение  $T_k$  существует только при выполнении условия  $(1 - |x|) FS^2 A(S) / [2J\Delta_0/g - (1 - |x|) FS/3] \gg 1$ . Очевидно, что при  $2J\Delta_0/g \gg (1 - |x|) FS/3$  это условие не выполняется. Таким образом, локальные спины Mn замерзают в поле ВСП и средняя намагниченность равна нулю.

Рассмотрим случай  $x > 0$ . Предполагая  $T_k \sim T^* \ll T_N$  и ограничиваясь в (5)–(10) членами первого порядка по  $\Delta_{q_1}$  и  $\Delta_{q_2}$ , получим уравнения на  $T_N$  и  $T^*$

$$\ln \frac{T_N}{\hat{T}_N} = \operatorname{Re} \left[ \Psi \left( \frac{1}{2} \right) - \Psi \left( \frac{1}{2} + \frac{\nu - i\mu}{2\pi T_N} \right) \right] + \frac{1}{gN(0)} \frac{\delta_0}{1 + \delta_0},$$

$$\ln \frac{T^*}{\hat{T}_N} = \operatorname{Re} \left[ \Psi \left( \frac{1}{2} \right) - \Psi \left( \frac{1}{2} + \frac{\nu^* - i\mu^*}{2\pi T^*} \right) \right] + \frac{1}{gN(0)} \frac{\delta^*}{1 + \delta^*}, \quad (14)$$

$$\nu = 2\pi N(0) \left[ xv^2 + \frac{1}{3} S(S+1) (2J^2 + xI^2) \right],$$

$$\delta_0 = \frac{1}{3} \frac{J^2}{g} \frac{S(S+1)}{T_N + \hat{T}_A},$$

$$\nu^* = \pi N(0) [xv^2 + S(S+1) (2J^2 + xI^2)],$$

$$\delta^* = \frac{1}{3} x \frac{I^2}{g} \frac{S(S+1)}{T^*}.$$

Из уравнений (5)–(10), (14) следует, что при  $T_N$  возникает распределение спиновой плотности с пучностями на узлах подрешетки Mn и нулями на узлах подрешетки Me. При  $T^*$  происходит перестройка магнитной структуры ( $\Delta_{q_1} \neq \Delta_{q_2}$ ), после которой пространственное распределение спиновой плотности имеет пучности на узлах подрешетки Mn ( $\Delta_{q_1} + \Delta_{q_2}$ ) и отличное

от нуля значение на узлах подрешетки Me ( $\Delta_{q_1} - \Delta_{q_2}$ ). Ограничиваясь в (8) членами первого порядка по  $M$  и предполагая  $S [J(\Delta_{q_1} + \Delta_{q_2})/g - FL/3]/T_k \gg 1$ ,  $|S(\Delta_{q_1} - \Delta_{q_2})/gT_k \ll 1$ , получим уравнение на температуру Кюри

$$1 = \frac{S^2}{T_k} \left[ FA(S) \exp \left\{ -\frac{1}{T_k} \left[ 2 \frac{J}{g} \Delta_0 - \frac{1}{3} FS \right] \right\} + xf \frac{(S+1)}{3S} \right]. \quad (15)$$

Уравнение (15) легко решить графическим способом. Из (15) видно, что  $T_k \approx xfS(S+1)/3$ . ФМ взаимодействие локальных спинов Mn между собой стимулирует возникновение средней намагниченности. В области температур от  $T_N$  до  $T^*$  локальные моменты Mn на подрешетке Mn подмагничиваются в поле ВСП, в то время как моменты Mn на подрешетке Me остаются парамагнитными. При  $T_k \sim T^*$  в системе происходит ФМ упорядочение и возникает отличное от нуля значение спиновой плотности на узлах подрешетки Me. Локальные моменты Mn ориентируются в полях ВСП и средней намагниченности так, что их проекция на каждом узле соответствует амплитуде эффективного поля, полученного при сложении этих полей.

### 3. Магнитная восприимчивость локальных моментов

Магнитную восприимчивость подсистемы локальных моментов удобно условно разделить на восприимчивость подрешетки марганца ( $\chi^{Mn}$ ) и подрешетки Me ( $\chi^{Me}$ )

$$\chi = \chi^{Me} + \chi^{Mn}. \quad (16)$$

Используя (7) — (8), получим выражения, например, для продольной восприимчивости

$$\chi_{||}^{Mn} = \frac{(1 - |x|) \mu_B^2 S^2 B'_s ((JS/gT) [\Delta_{q_1} + \Delta_{q_2}] - F_s L/3T)}{T - (1 - |x|) S^2 F B'_s ((JS/gT) [\Delta_{q_1} + \Delta_{q_2}] - FSL/3T)},$$

$$\chi_{||}^{Me} = 0, \quad x \leq 0, \quad (17)$$

$$\chi_{||}^{Mn} = \frac{\mu_B^2 S^2 B'_s ((JS/gT) [\Delta_{q_1} + \Delta_{q_2}] - FSL/3T)}{T - S^2 F B'_s ((JS/gT) [\Delta_{q_1} + \Delta_{q_2}] - FSL/3T)},$$

$$\chi_{||}^{Me} = \frac{x \mu_B^2 S^2 B'_s ((IS/gT) [\Delta_{q_1} - \Delta_{q_2}])}{T - x S^2 f B'_s ((IS/gT) [\Delta_{q_1} - \Delta_{q_2}])}, \quad x > 0. \quad (18)$$

Выражения для поперечной восприимчивости легко записать аналогичным образом. Используя (17), исследуем поведение восприимчивости при  $x \leq 0$ . В парамагнитной области  $\chi^{Mn}(T)$  подчиняется закону Кюри—Вейса, что связано с существованием локальных моментов на атомах Mn. Ниже  $T_N$   $\chi^{Mn}(T)$  слабо зависит от температуры из-за взаимодействия локальных моментов с ВСП.  $\chi^{Me}$  равна нулю.

Рассмотрим случай  $x > 0$ ,  $T_k \sim T^* \ll T_N$ . Из (18) следует, что  $\chi^{Mn}(T)$  совпадает с  $\chi^{Mn}(T)$  при  $x=0$  (17).  $\chi^{Me}(T)$  подчиняется закону Кюри—Вейса и расходится при  $T_k = xS^2f/3$ .

### 4. Род антиферромагнитного перехода

Установлено, что упорядоченные бинарные сплавы Mn с Ni, Pd, Pt, Rh, Ir наряду с АФМ переходом при  $T_N$  испытывают структурный переход из  $\beta$ -фазы типа CsCl в  $\theta$ -фазу типа CuAu1 при температуре  $T_\theta \leq T_N$  [15]. Исследуем влияние структурного перехода на род АФМ перехода. Для этого запишем разложение Ландау для свободной энергии  $F(\eta, \Delta)$  по структурному параметру порядка  $\eta$  и по АФМ параметру порядка  $\Delta = (\Delta_{q_1} + \Delta_{q_2})$  вблизи температуры Нееля

$$F = \alpha(T - T_N) \Delta^2 + \beta \Delta^4 + \gamma \Delta^6 + \varphi(T - T_\theta) \eta^2 + \kappa \Delta^2 \eta. \quad (19)$$

Минимизируя  $F$  по  $\gamma$ , получим

$$F = \alpha (T - T_N) \Delta^2 + \left[ \beta - \frac{\chi^2}{4\varphi (T - T_\theta)} \right] \Delta^4 + \gamma \Delta^6. \quad (20)$$

Из уравнения (20) следует, что при  $T_\theta \ll T_N$  АФМ переход происходит вторым родом, если знак коэффициента при  $\Delta^4$  положительный, и первым родом, если знак коэффициента отрицательный.

## 5. Обсуждение результатов

Хотя предложенная модель АФМ и ФМ упорядочения в сплавах MnMe не претендует на количественное согласие с экспериментом, тем не менее она дает ряд любопытных результатов, которые можно качественно сопоставить с опытными данными. Рассмотрим, во-первых, тенденции в поведении температуры Нееля  $T_N$  при отклонении сплава от эквиатомного.

При увеличении содержания марганца ( $c > 0.5$ ) избыточные атомы Mn садятся на подрешетку Me и попадают в узлы ВСП, т. е. не замораживаются в антиферромагнитной структуре матрицы. Главную роль в уменьшении  $T_N$  играет рассеяние на дефектах в подрешетке Me, ослабленное из-за малого подмешивания состояний Me к состояниям Mn, формирующим (в значительной степени) конгруэнтные участки поверхности Ферми. В то же время при уменьшении содержания Mn ( $c < 0.5$ ), с одной стороны, часть немагнитных атомов попадает в подрешетку Mn, т. е. в пучности ВСП, разрушая АФМ порядок в подрешетке Mn, а с другой стороны, возникает примесное рассеяние, гораздо сильнее разрушающее ВСП, чем при  $c > 0.5$  (примесный псевдопотенциал центрирован на узлах Mn, а не Me). Оба этих фактора способствуют понижению  $T_N$ , причем более резко, чем при  $c > 0.5$ . Необходимо, однако, учесть еще один аспект изменения  $T_N$ , играющий иногда решающую роль в моделях ВСП [1]. Речь идет об изменении степени «нестинга» при легировании, к которому величина  $T_N$  чрезвычайно чувствительна. К сожалению, мы не располагаем информацией о деталях зонной структуры нестехиометрических сплавов MnMe, поэтому о величине и даже характере изменения «нестинга» можем судить лишь по косвенным признакам. Именно результаты измерения  $T_N$  в сплавах MnNi и MnPt [7, 16], которыми только и исчерпывается наша информация, говорят о более резком уменьшении  $|dT_N/dx|$  при  $c > 0.5$ , чем при  $c < 0.5$ . Ясно, что это может быть объяснено лишь в предположении об ухудшении «нестинга» при добавлении избыточного Mn (который в этих сплавах при отклонении от стехиометрии играет роль донора) и, наоборот, об улучшении «нестинга» при избытке Me (Ni, Pt), играющего роль акцептора. Причем это улучшение должно быть достаточно велико, компенсируя в определенной мере падение  $T_N(x)$  из-за возрастания рассеяния и уменьшения концентрации локальных моментов Mn. Рис. 1 качественно иллюстрирует зависимость  $T_N(x)$  при отклонении от стехиометрического состава по Mn или Me (левая и правая ветви соответственно). Далее обсудим поведение низкотемпературного ФМ перехода, возникающего при  $T_k \ll T_N$ . В сплавах эквиатомного состава и при  $c < 0.5$  ФМ переход не обнаружен вплоть до самых низких температур [11], хотя в некоторых системах (например, MnIr) наблюдались тенденции к сильному парамагнетизму и возрастание восприимчивости [13]. При увеличении содержания марганца ( $c > 0.5$ )  $T_k$  возрастает пропорционально отклонению от стехиометрии из-за появления незамороженных локальных спинов Mn на подрешетке Me (рис. 1). Экспериментальное исследование сплава MnIr [13] при низких температурах показало возрастание  $T_k$  при увеличении содержания Mn. Результаты экспериментов в сплавах Mn с Ni, Pd, Pt противоречивы: в [17] при температурах  $\sim 100$  К наблюдается слабый ферромагнетизм, а в [11] в температурной области от  $T_N$  до температуры жидкого азота ФМ порядок не обнаружен. Результаты исследования в области более низких температур нам не известны.

Наличие пика в магнитной восприимчивости при  $T_N$  в сплавах MnNi, MnPd, MnRh [11, 12] и его отсутствие в сплаве MnPt [11], связаны, по-видимому, с тем, что в сплавах Mn (Ni, Pd, Pt) аномально сильны эффекты магнитострикции из-за близости структурного перехода, приводя к первому роду АФМ перехода, тогда как в MnPt АФМ переход идет вторым родом. Вклад в магнитную восприимчивость сплава MnMe  $\chi(T)$  от локальных моментов Mn качественно изображен на рис. 2. В парамагнитной области  $\chi(T)$  подчиняется закону Кюри—Вейса и ниже  $T_N$  слабо зависит от  $T$ . При  $c > 0.5$  в области низких температур  $T \ll T_N$  выполняется закон Кюри—Вейса и  $\chi(T)$  расходится при  $T \rightarrow T_k$ . Экспериментальное пове-

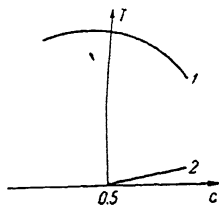


Рис. 1. Зависимости температуры Нееля (1) и Кюри (2) от содержания марганца в сплаве.

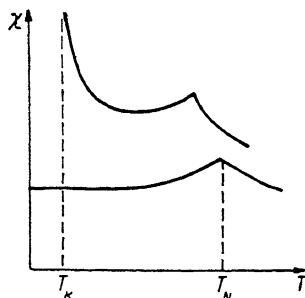


Рис. 2. Зависимости магнитной восприимчивости от температуры при содержании марганца  $c > 0.5$  (1) и  $c \leq 0.5$  (2).

дение  $\chi(T)$  качественно согласуется с теоретической зависимостью для сплавов Mn (Ni, Rh, Ir) [11–13]. В сплавах Mn (Pd, Pt) в парамагнитной области восприимчивость почти не зависит от  $T$  [11], что свидетельствует о преобладающем вкладе в  $\chi(T)$  пауллиевской (зонной) компоненты. В сплаве MnNi (Fe) экспериментально наблюдается резкое увеличение  $\chi(T)$  в области  $T < T_N$  с ростом концентрации Fe [14]. В рамках нашей модели эта тенденция к ферромагнетизму может быть связана как с появлением слабо взаимодействующих с ВСП локальных спинов Fe на подрешетке Me, так и с возможным разрушением ВСП вблизи примеси Fe на подрешетке Mn, приводящим к размораживанию локальных спинов Mn в ближайшей окружности Fe и их последующему ФМ упорядочению.

Таким образом, подводя итог нашему рассмотрению, можно констатировать явный недостаток экспериментальных данных по магнитным свойствам сплавов MnMe, а также расчетов электронной структуры стехиометрических (за исключением MnNi) и слабо нестехиометрических систем этого типа, не позволяющий довести сравнение теории и эксперимента хотя бы до полуколичественного уровня. В то же время качественные особенности поведения  $T_N$ ,  $T_k$ ,  $\chi(T)$  могут быть приемлемым образом объяснены.

#### Список литературы

- [1] Куликов Н. И., Тугушев В. В. // УФН. 1984. Т. 144. № 1. С. 643–681.
- [2] Горьков Л. П. // УФН. 1984. Т. 144. № 3. С. 381–413.
- [3] Кулатов Э. Т., Куликов Н. И., Тугушев В. В. // Тр. ИОФАН, 1986. Т. 3. С. 122–142.
- [4] Schrieffer J., Wen X., Zhang S. // Phys. Rev. B. 1989. V. 39. N 16. P. 11663–11679.
- [5] Moriya T. Spin fluctuations in itinerant electron magnetism. Springer, Berlin, 1985.
- [6] Волков Б. А., Мнацаканов Т. Т. // ЖЭТФ. 1978. Т. 75. № 2. С. 563–576.
- [7] Kren E., Nagy E., Nagy I., Pal L., Szabo P. // J. Phys. Chem. Sol. 1968. V. 29. P. 101–108.
- [8] Kren E., Solyom J. // Phys. Lett. 1966. V. 22. N 3. P. 273–275.
- [9] Kren E., Cselik M., Kadar G., Pal L. // Phys. Lett. 1967. V. 24A. N 4. P. 198–200.
- [10] Винтайкин Е. З., Дмитриев В. Б., Макушев С. Ю., Удовенко В. А. // ФММ. 1987. Т. 63. № 3. С. 577–581.
- [11] Pal L., Kren E., Kadar G., Szabo P., Tainoczi T. // J. Appl. Phys. 1968. V. 39. N 2. P. 538–544.

- [12] Kouvel J. S., Hartelius C. C., Osica L. M. // J. Appl. Phys. 1963. V. 34. N 4. P. 1095—1096.
- [13] Brun K., Kjekshus A., Pearson W. B. // Acta Chem. Scand. 1965. V. 19. N 1. P. 107—112.
- [14] Егорушкин В. Е., Кульков С. Н., Кулькова С. Е. // ЖЭТФ. 1983. Т. 84. № 2. С. 599—605.
- [15] Хансен М., Андерко К. Структуры двойных сплавов. М., 1962. 876 с.
- [16] Andresen A. F., Kjekshus A., Mollerud R., Pearson W. P. // Phil. Mag. 1965. V. 11. N 114. P. 1245—1256.
- [17] Brun K., Kjekshus A., Pearson W. B. // Acta Chemica Scand. 1965. V. 19. N 2. P. 477—484.

Институт атомной энергии им. И. В. Курчатова  
Москва

Поступило в Редакцию  
12 января 1990 г.

